

# Optimisation multi-objectif des réseaux maillés sans fil OFDMA

Anis Ouni, Hervé Rivano et Fabrice Valois

Herve.Rivano@inria.fr - Équipe UrbaNet www.citi-lab.fr/urbanet

**20 janvier 2012** 





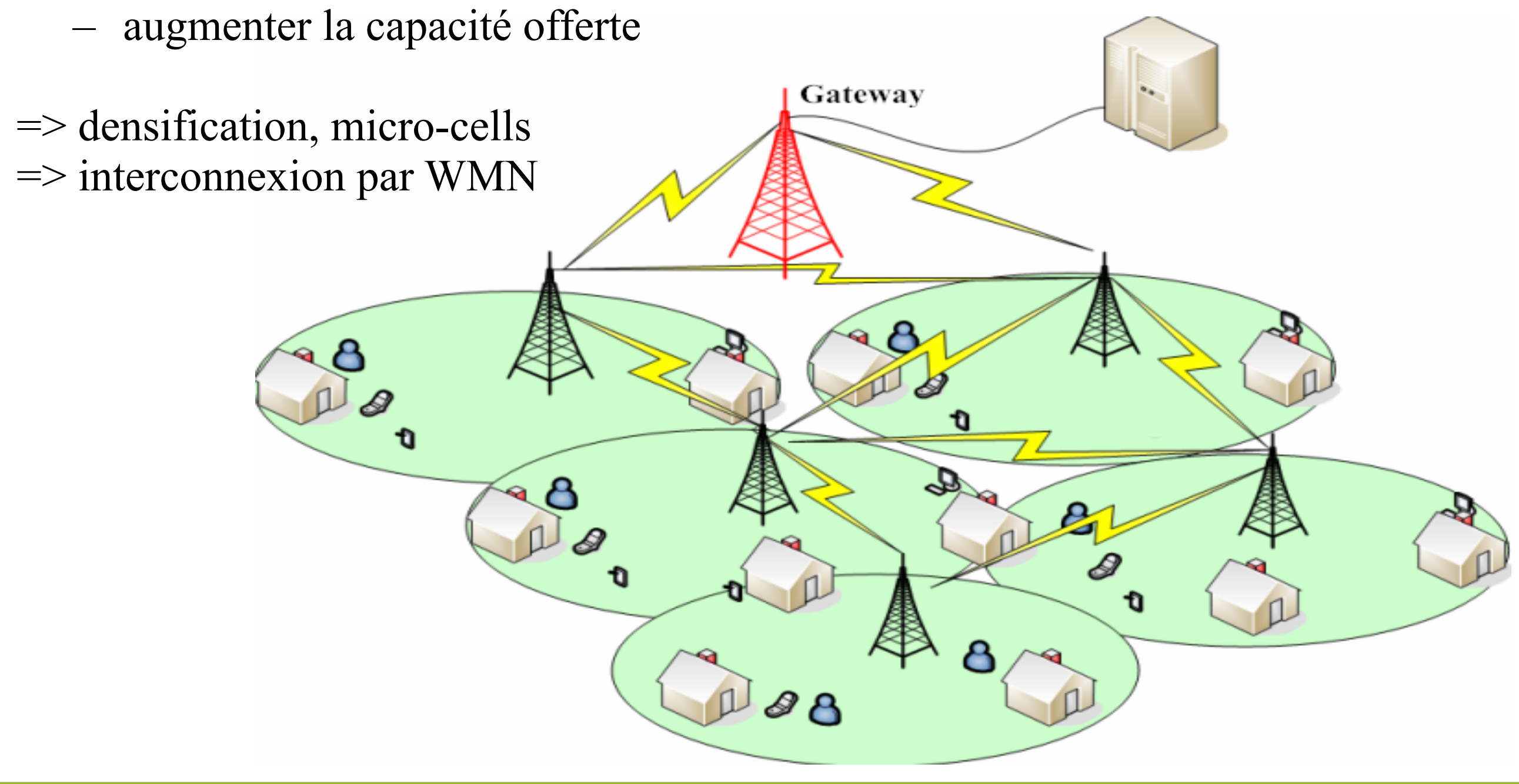




#### Introduction & Architecture

Enjeux sociétaux et environnementaux :

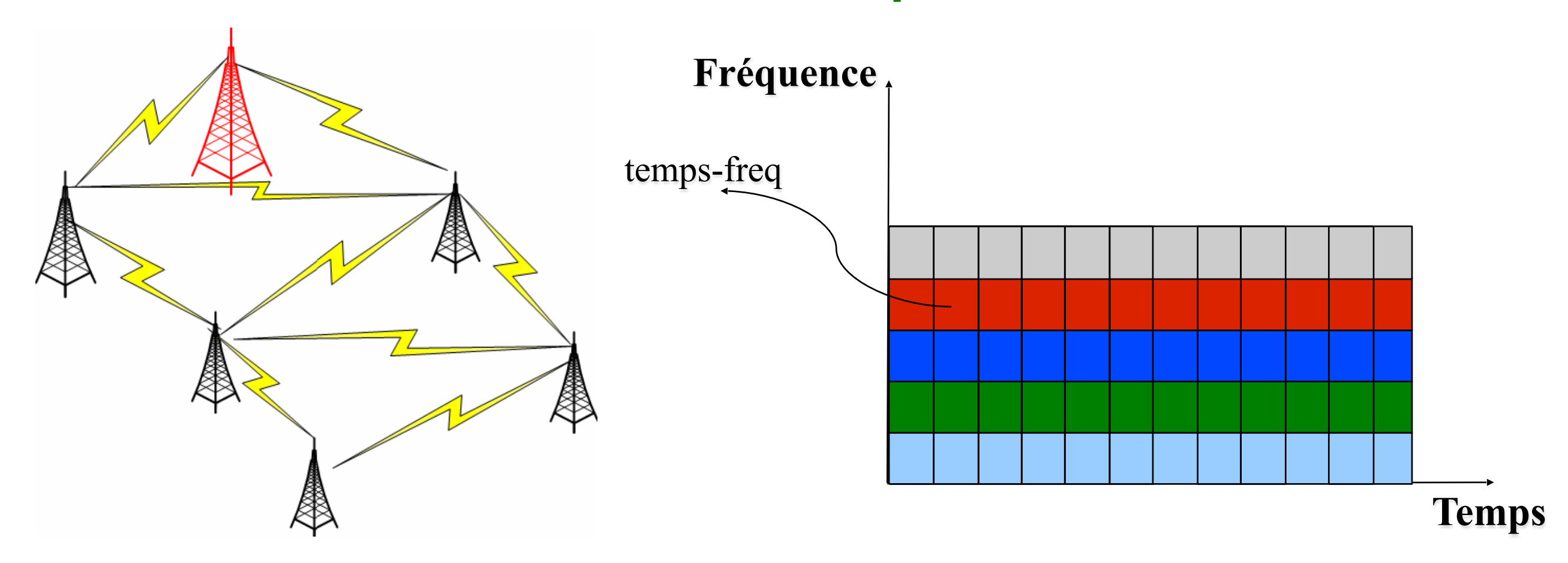
diminuer consommation énergétique et niveaux de puissance







#### Problématique



Demande agrégée dans les micro-cellules Ressource temps-fréquence type OFDMA (4G LTE, etc.)

Etude du compromis entre capacité et consommation énergétique





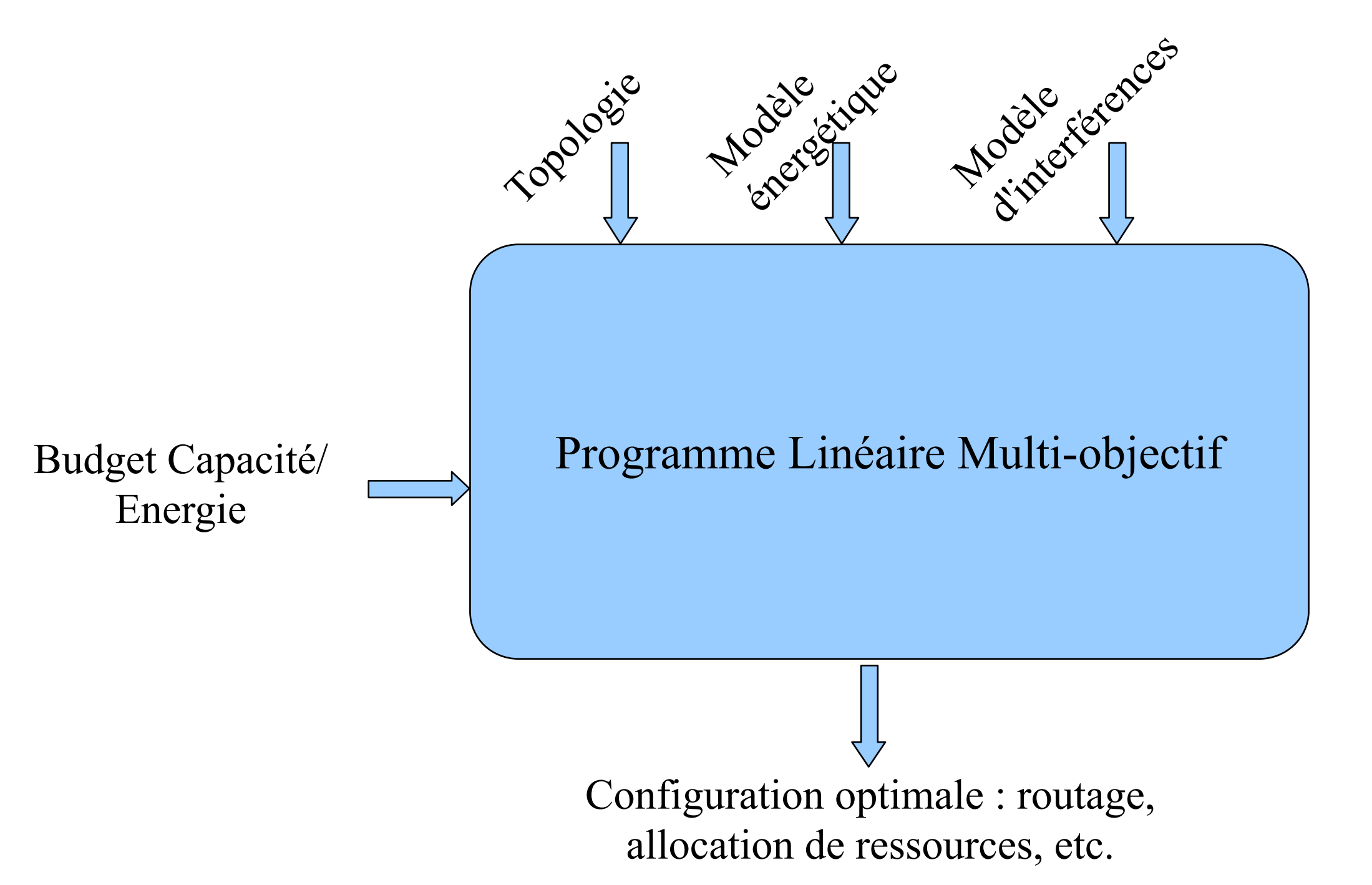
# Deux problèmes étudiés séparément

- Capacité des réseaux radio : Ad-hoc, Maillés, Capteurs
  - Réutilisation spatiale
  - Ordonnancement + routage
  - Contrôle de puissance
- Minimisation de la consommation énergétique: réseau de capteurs
  - Endormissement
  - Contrôle de puissance
  - Agrégation de données
  - Consommation de chaque nœud, pas du système global





#### Optimisation multi-objectif







# Programme multi-objectif

#### Compromis capacité-énergie

- Maximiser la capacité sous une contrainte énergétique
- Minimiser la consommation énergétique sous une contrainte de capacité

#### Entrée:

- Graphe de connexion (Vr U Vg, E)
- Demande de trafic d(r), r∈Vr
- Système périodique => capacité = D/T

#### Sortie:

- P: routes entre Vr et Vg
- F : configurations, ensemble de transmissions activées simultanément
- ω: temps d'activation de chaque configuration
- $T=\Sigma\omega(F)$





$$\begin{aligned} \min \sum_{F} w(F) \\ \forall e \in E \quad & \sum_{P \in \mathcal{P}_{DL}, P \ni e} f_{DL}(P) + \sum_{P \in \mathcal{P}_{UL}, P \ni e} f_{UL}(P) \leq \sum_{F \in \mathbf{F}, F \ni e} c_e(F) w(F) \\ & \sum_{F} w(F) j(F) \leq J \\ \forall r \in V_r \quad & \sum_{P \in \mathcal{P}_{DL}^r} f_{DL}(P) = d_{DL}(r) \\ \forall r \in V_r \quad & \sum_{P \in \mathcal{P}_{UL}^r} f_{UL}(P) = d_{UL}(r) \end{aligned}$$

Capacité =  $\sum d(r)/\sum W(F)$ Capacité selon les activations

Budget énergétique

Demande à servir



$$\begin{aligned} \min \sum_{F} w(F) \\ \forall e \in E \quad & \sum_{P \in \mathcal{P}_{DL}, P \ni e} f_{DL}(P) + \sum_{P \in \mathcal{P}_{UL}, P \ni e} f_{UL}(P) \leq \sum_{F \in \mathbf{F}, F \ni e} c_e(F) w(F) \\ & \sum_{F} w(F) j(F) \leq J \\ \forall r \in V_r \quad & \sum_{P \in \mathcal{P}_{DL}^r} f_{DL}(P) = d_{DL}(r) \\ \forall r \in V_r \quad & \sum_{P \in \mathcal{P}_{UL}^r} f_{UL}(P) = d_{UL}(r) \end{aligned}$$

$$\begin{aligned} \min \sum_{F} w(F) \\ \forall e \in E & \sum_{P \in \mathcal{P}_{DL}, P \ni e} f_{DL}(P) + \sum_{P \in \mathcal{P}_{UL}, P \ni e} f_{UL}(P) \leq \sum_{F \in F, F \ni e} c_e(F) w(F) \\ & \sum_{F} w(F) j(F) \leq J \\ \forall r \in V_r & \sum_{P \in \mathcal{P}_{DL}^r} f_{DL}(P) = d_{DL}(r) \\ \forall r \in V_r & \sum_{P \in \mathcal{P}_{UL}^r} f_{UL}(P) = d_{UL}(r) \end{aligned} \qquad \forall r \in V_r \quad \sum_{P \in \mathcal{P}_{UL}^r} f_{UL}(P) = d_{UL}(r) \\ \forall r \in V_r & \sum_{P \in \mathcal{P}_{UL}^r} f_{UL}(P) = d_{UL}(r) \end{aligned}$$





$$\min \sum_{F} w(F)$$

$$\forall e \in E \quad \sum_{P \in \mathcal{P}_{DL}, P \ni e} f_{DL}(P) + \sum_{P \in \mathcal{P}_{UL}, P \ni e} f_{UL}(P) \leq \sum_{F \in \mathbf{F}, F \ni e} c_e(F) w(F)$$

$$\forall e \in E \quad \sum_{P \in \mathcal{P}_{DL}, P \ni e} f_{DL}(P) + \sum_{P \in \mathcal{P}_{UL}, P \ni e} f_{UL}(P) \leq \sum_{F \in \mathbf{F}, F \ni e} c_e(F) w(F)$$

$$\forall r \in V_r \quad \sum_{P \in \mathcal{P}_{DL}^r} f_{DL}(P) = d_{DL}(r)$$

$$\forall r \in V_r \quad \sum_{P \in \mathcal{P}_{UL}^r} f_{UL}(P) = d_{UL}(r)$$

$$\forall r \in V_r \quad \sum_{P \in \mathcal{P}_{UL}^r} f_{UL}(P) = d_{UL}(r)$$

$$\forall r \in V_r \quad \sum_{P \in \mathcal{P}_{UL}^r} f_{UL}(P) = d_{UL}(r)$$

$$\min \sum_{F} w(F)j(F)$$

$$\forall e \in E \sum_{P \in \mathcal{P}_{DL}, P \ni e} f_{DL}(P) + \sum_{P \in \mathcal{P}_{UL}, P \ni e} f_{UL}(P) \leq \sum_{F \in F, F \ni e} c_e(F)w(F)$$

$$\sum_{F} w(F) \leq T$$

$$\forall r \in V_r \qquad \sum_{P \in \mathcal{P}_{DL}^r} f_{DL}(P) = d_{DL}(r)$$

$$\forall r \in V_r \qquad \sum_{P \in \mathcal{P}_{UL}^r} f_{UL}(P) = d_{UL}(r)$$

Nombre de contraintes: # noeuds + # liens  $\rightarrow$  OK

Nombre de Variables: # routes P + # Config F  $\rightarrow$  oups





$$\min \sum_{F} w(F)$$

$$\forall e \in E \quad \sum_{P \in \mathcal{P}_{DL}, P \ni e} f_{DL}(P) + \sum_{P \in \mathcal{P}_{UL}, P \ni e} f_{UL}(P) \leq \sum_{F \in F, F \ni e} c_e(F) w(F)$$

$$\forall e \in E \quad \sum_{P \in \mathcal{P}_{DL}, P \ni e} f_{DL}(P) + \sum_{P \in \mathcal{P}_{UL}, P \ni e} f_{UL}(P) \leq \sum_{F \in F, F \ni e} c_e(F) w(F)$$

$$\forall r \in V_r \quad \sum_{P \in \mathcal{P}_{DL}^r} f_{DL}(P) = d_{DL}(r)$$

$$\forall r \in V_r \quad \sum_{P \in \mathcal{P}_{UL}^r} f_{UL}(P) = d_{UL}(r)$$

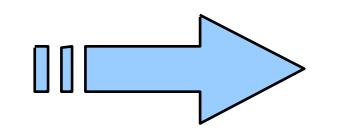
$$\forall r \in V_r \quad \sum_{P \in \mathcal{P}_{UL}^r} f_{UL}(P) = d_{UL}(r)$$

$$\forall r \in V_r \quad \sum_{P \in \mathcal{P}_{UL}^r} f_{UL}(P) = d_{UL}(r)$$

$$\begin{aligned} \min \sum_{F} w(F) j(F) \\ \forall e \in E \ \sum_{P \in \mathcal{P}_{DL}, P \ni e} f_{DL}(P) + \sum_{P \in \mathcal{P}_{UL}, P \ni e} f_{UL}(P) \leq \sum_{F \in \mathbf{F}, F \ni e} c_e(F) w(F) \\ \sum_{F} w(F) \leq T \\ \forall r \in V_r \qquad \sum_{P \in \mathcal{P}_{DL}^r} f_{DL}(P) = d_{DL}(r) \\ \forall r \in V_r \qquad \sum_{P \in \mathcal{P}_{UL}^r} f_{UL}(P) = d_{UL}(r) \end{aligned}$$

Nombre de contraintes: # noeuds + # liens  $\rightarrow$  OK

Nombre de Variables: # routes P + # Config F  $\rightarrow$  oups

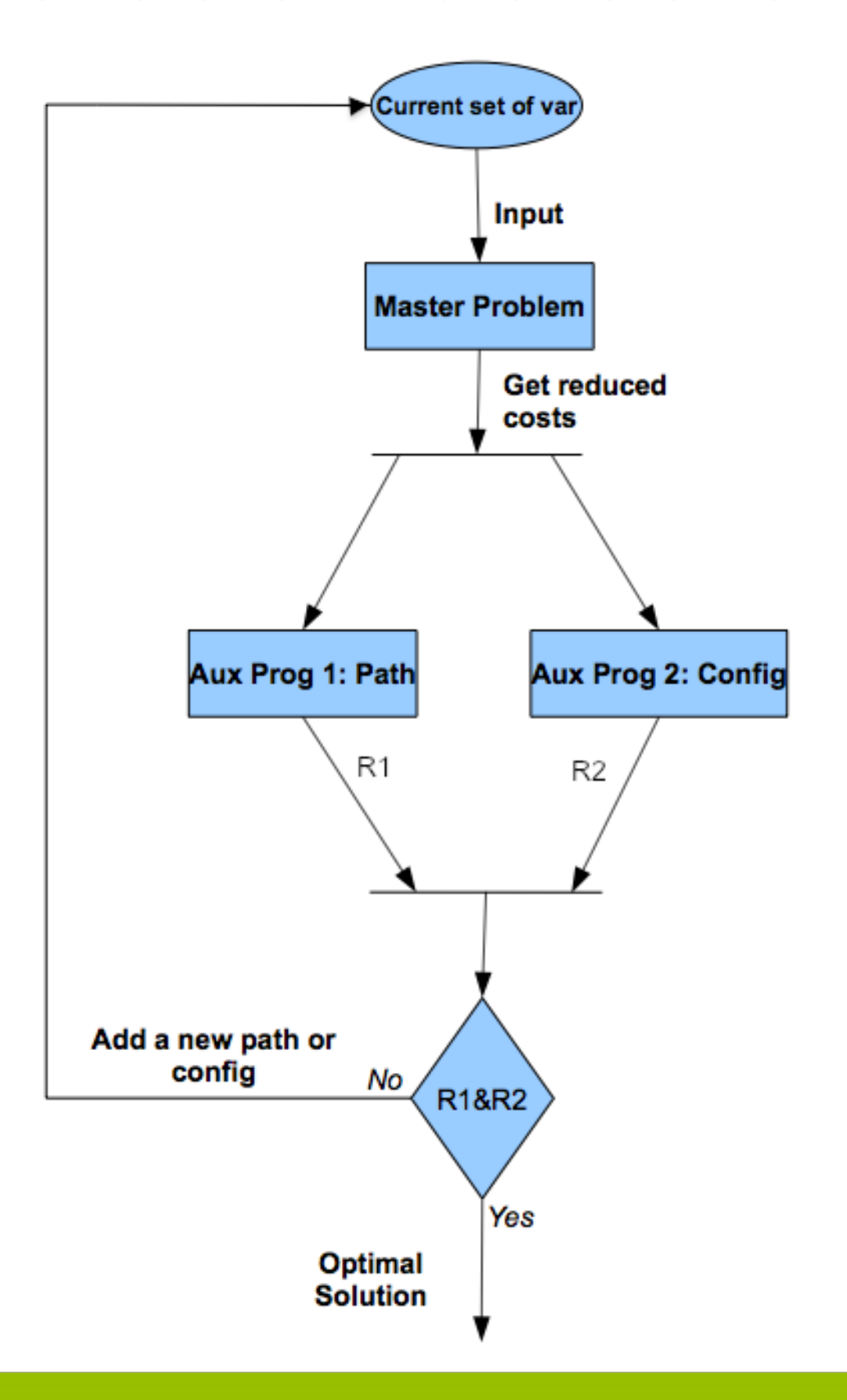


Génération de colonnes





#### Génération de colonnes







# Résultats sur un modèle simple (iste)

- modèle UDG
- Puissance fixe
- modèle d'interférences binaire
- topologie: grille et aléatoire
- modèle énergétique: TX, RX, Idle

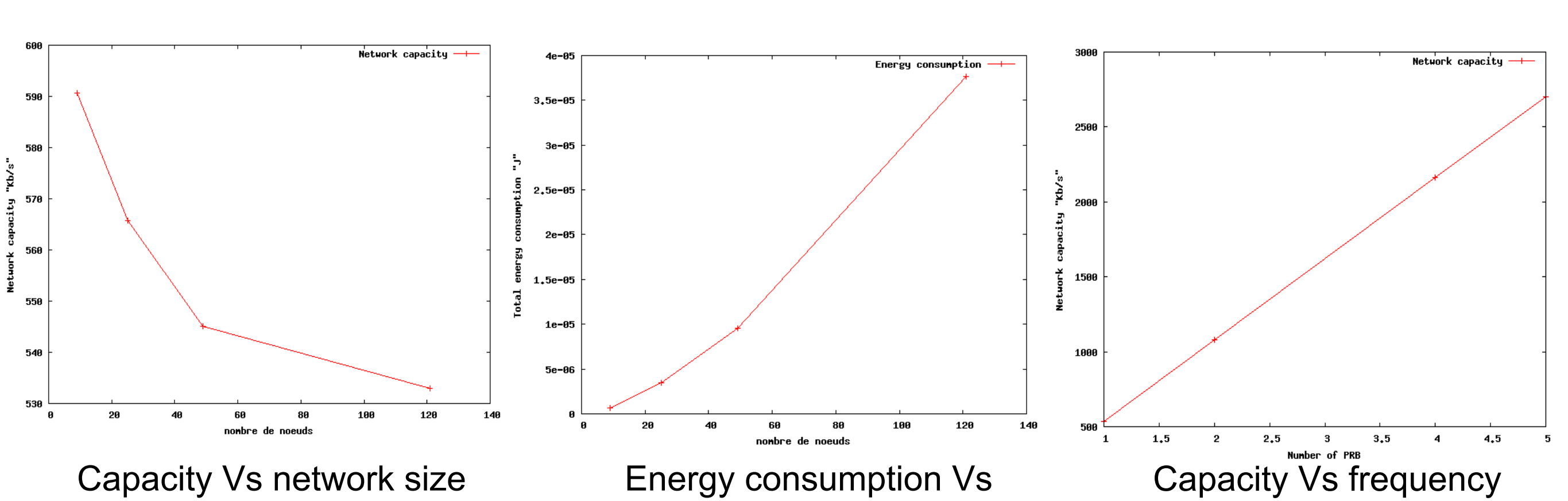
- Bloc temps-fréquence: 1ms/180khz
- Modulation: 4QAM
- SNR 22db
- N(bruit) = -174dBm/Hz

Génération de configuration = max weighted independent set par fréq.





# Quelques résultats



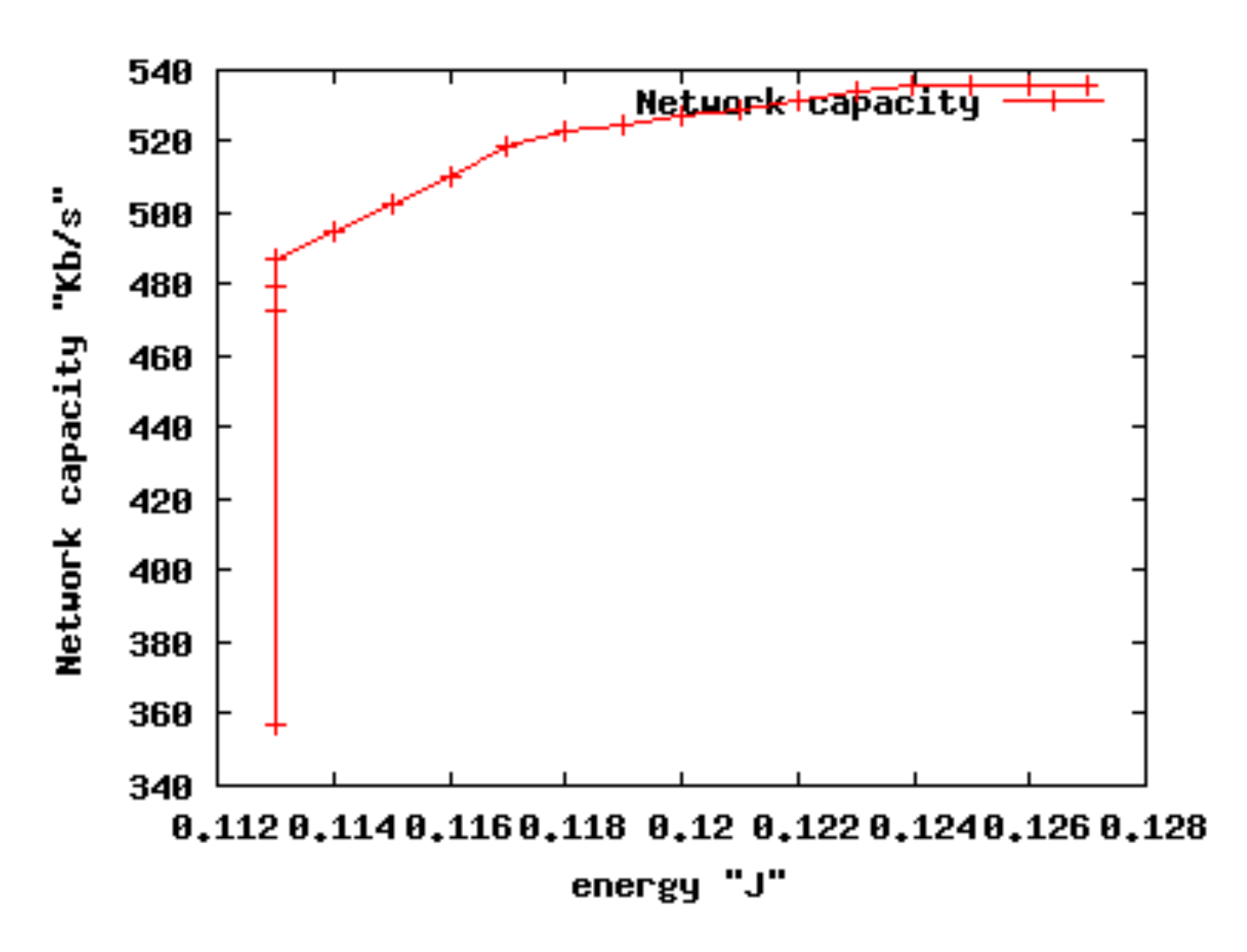
network size

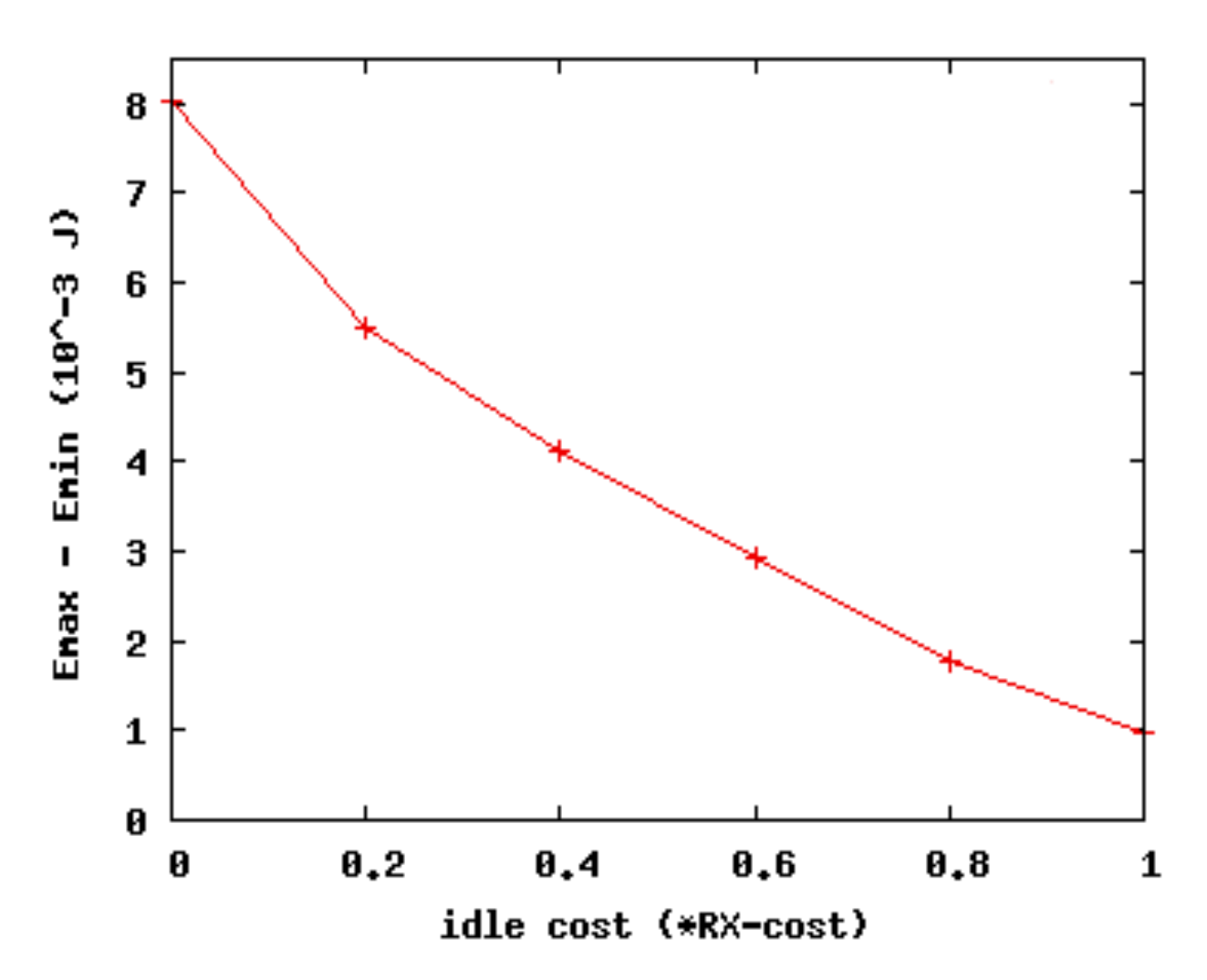




number

# Compromis capacité-énergie





Random topology, 49 nodes, Capacity and energy tradeoff, assuming Idle cost = 0

Capacity and energy tradeoff Vs Idle\_cost

Plus la consommation idle est forte, moins le compromis est significatif





#### Scénarii et paramètres

- Modèle d'interférences : SINR

- Contrôle de puissance

- Modèle d'énergie : TX, RX et mode en veille

- Demande de Trafic : Uniforme,

aléatoire

Résultats numérique : paramètres

LTE

- Bloc temps-fréquence : 1ms/

180khz

- N(bruit) = -174dBm/Hz

MCS	Modulation	CR	β	Débit	Efficacité
MCS1	QPSK	1/2	1.259	164 Kb/s	0.933 b/s/Hz
MCS2	16QAM	1/2	10	328.12 Kb/s	1.866 b/s/Hz
MCS3	16QAM	3/5	13.80	393.75 Kb/s	2.24 b/s/Hz
MCS4	64QAM	1/2	15.13	492.18 Kb/s	2.8 b/s/Hz
MCS5	64QAM	3/5	23.98	590.625 Kb/s	3.36 b/s/Hz





#### Génération de configurations

$$\max \sum_{e \in E} \sum_{k} (c_e^k \lambda_e) - \sigma \sum_{u} J_u$$

$$\forall u, v, k \qquad J_u \ge \sum_{k} T_s * P_t^k(u) + \sum_{k} \sum_{v} j_r^k(v) \Psi_{(v,u),k}$$

$$\forall u \qquad J_u \ge J_{idle}(u)$$

$$\forall e = (u, v), k \qquad c_e^k = C_1 \Psi_{(u,v),k}$$

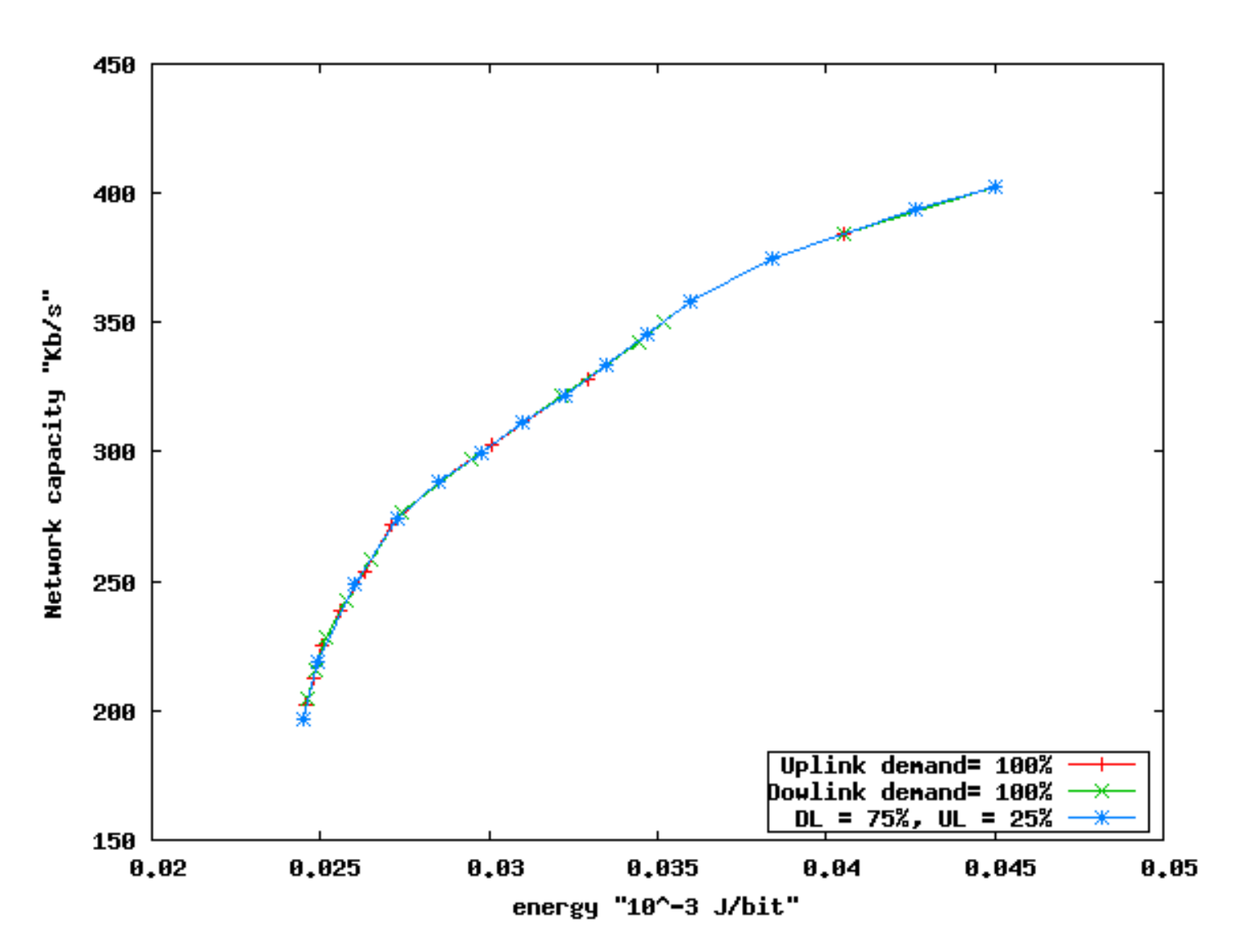
$$\forall u, v, k \qquad P_t^k(u) * L(u, v) \ge \beta * (\sum_{(u',v') \ne (u,v)} P_t^k(u') * L(u,v)$$

$$+\mu) - (1 - \Psi_{(u,v),k}) n P_{max}$$





# Compromis capacité-énergie



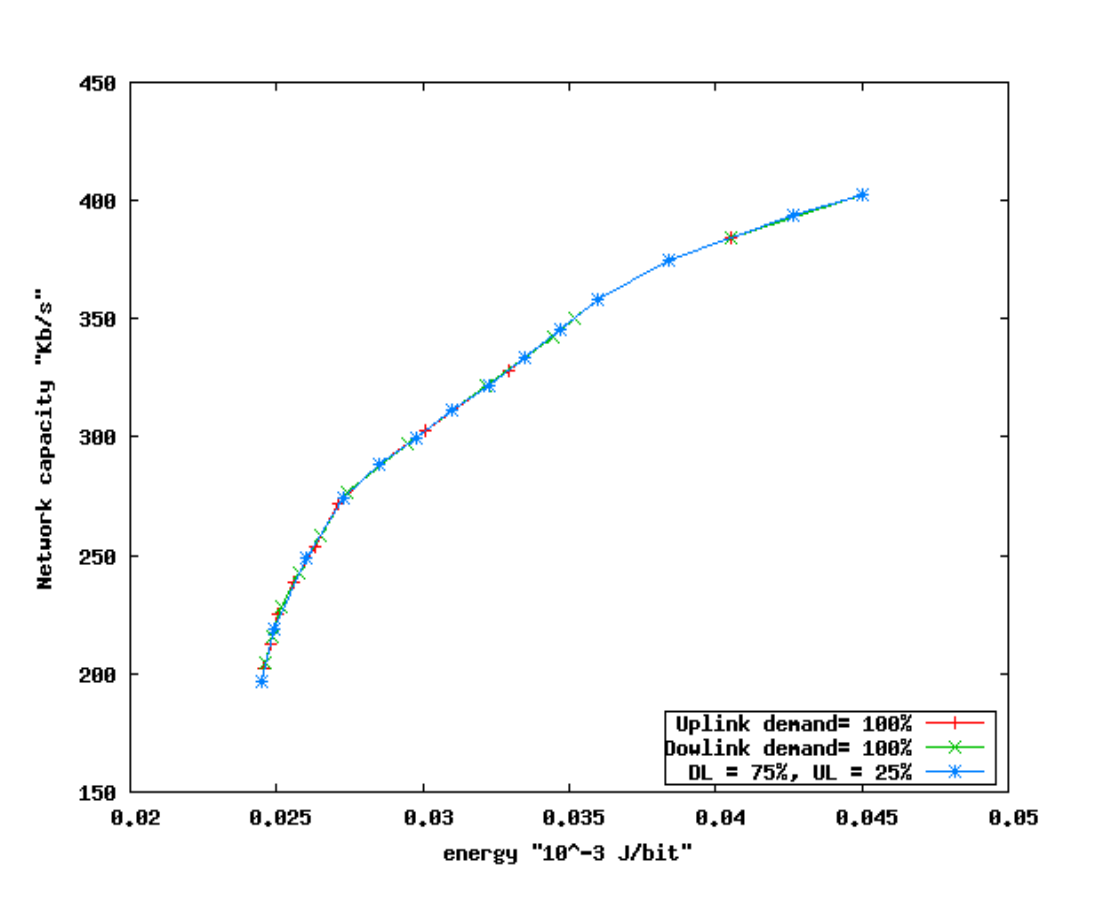
Compromis capacité-énergie : Seuil SNR = 15.13, grille 5x5

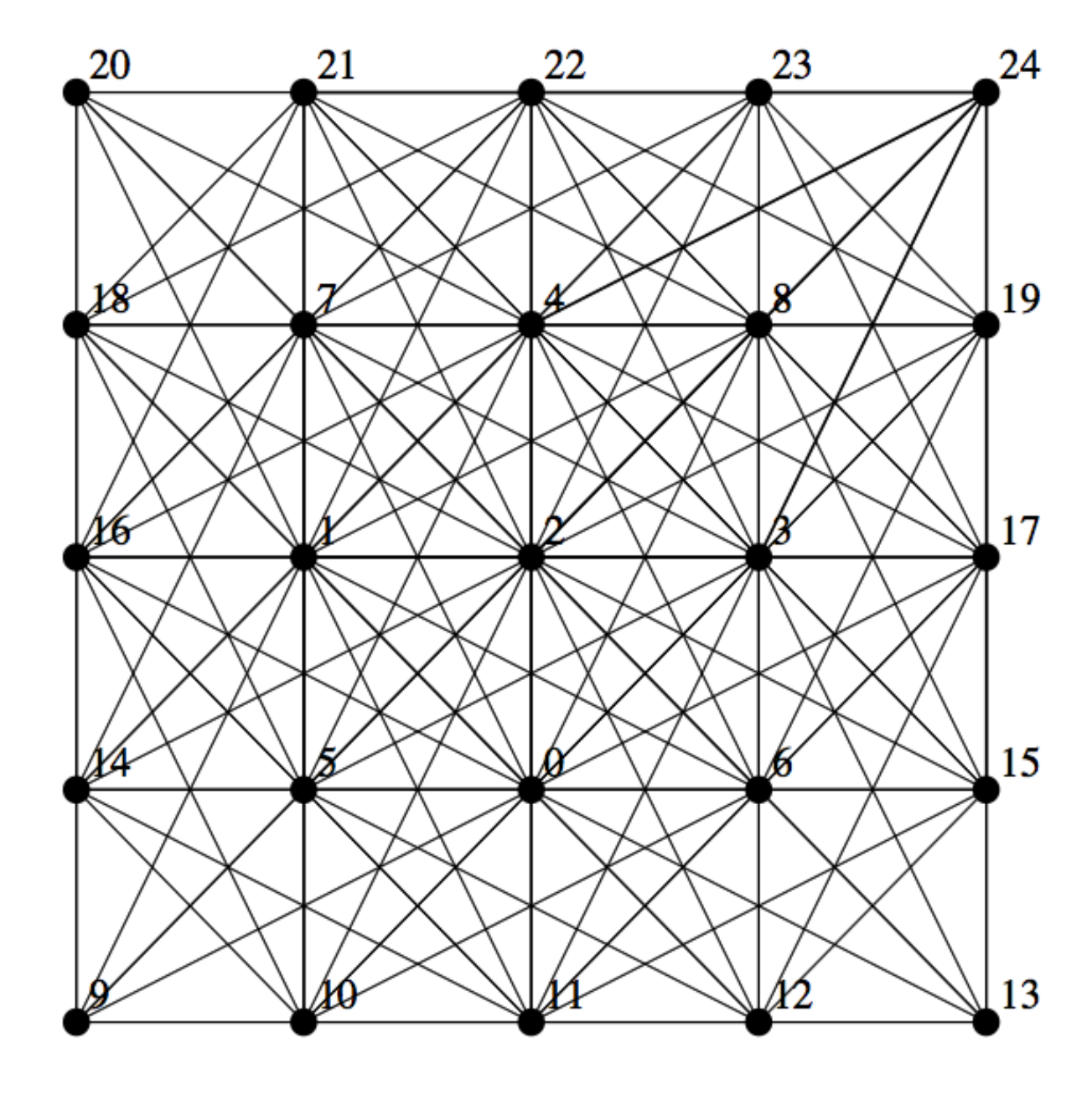
Il n'y a pas d'impact de la répartition du trafic entre UL et DL. Artefact de la relaxation linéaire ?





# Multi-saut Vs mono-saut, routage,...

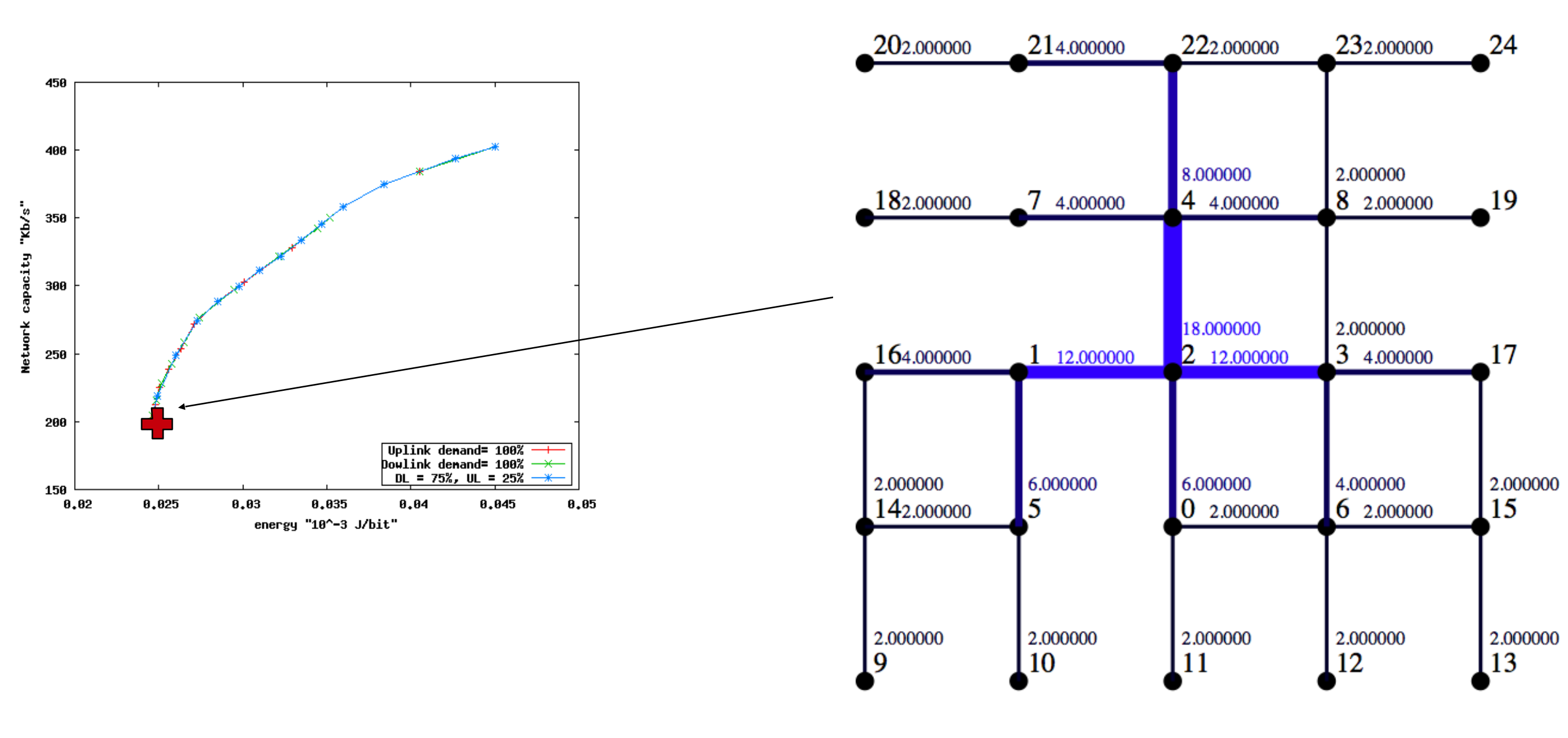








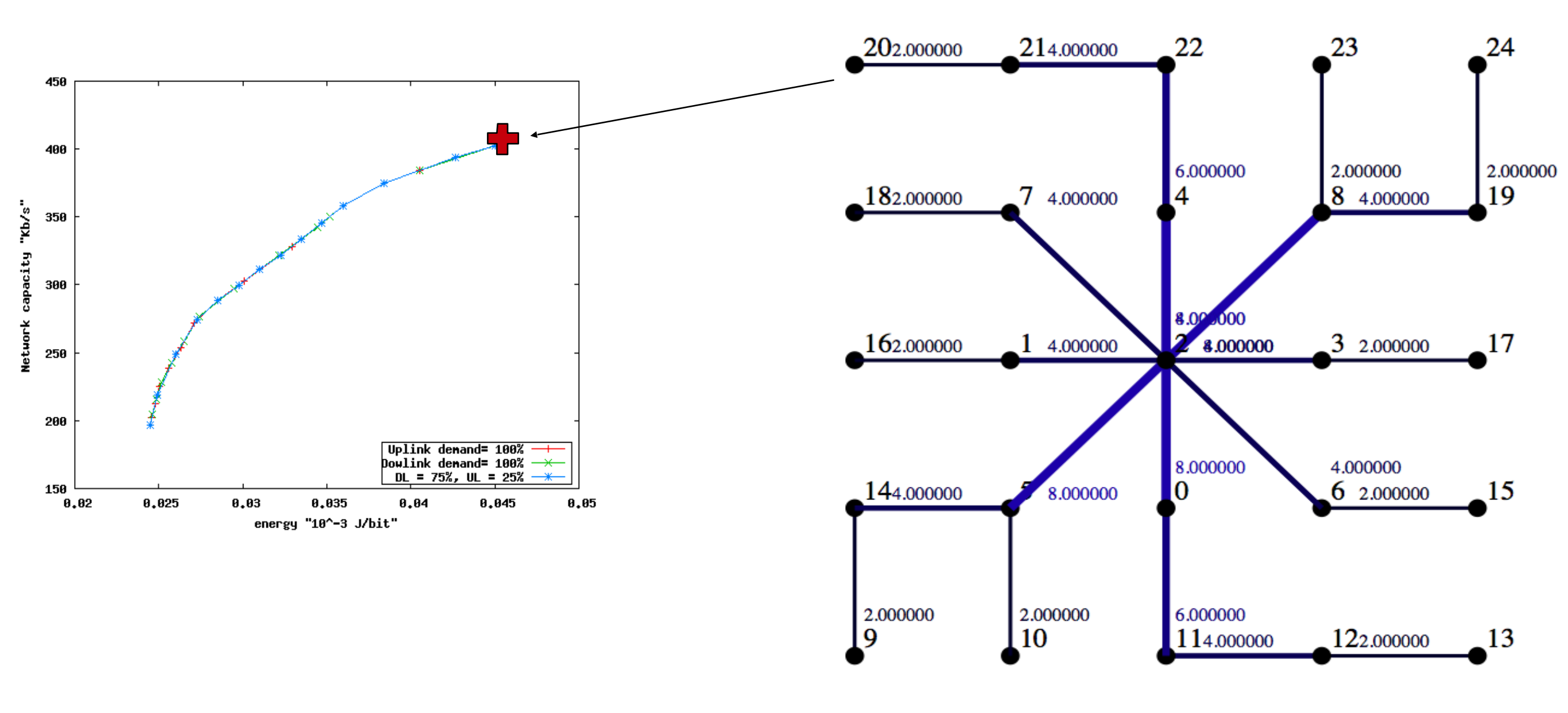
#### Multi-saut Vs mono-saut, routage,...







#### Multi-saut Vs mono-saut, routage,...

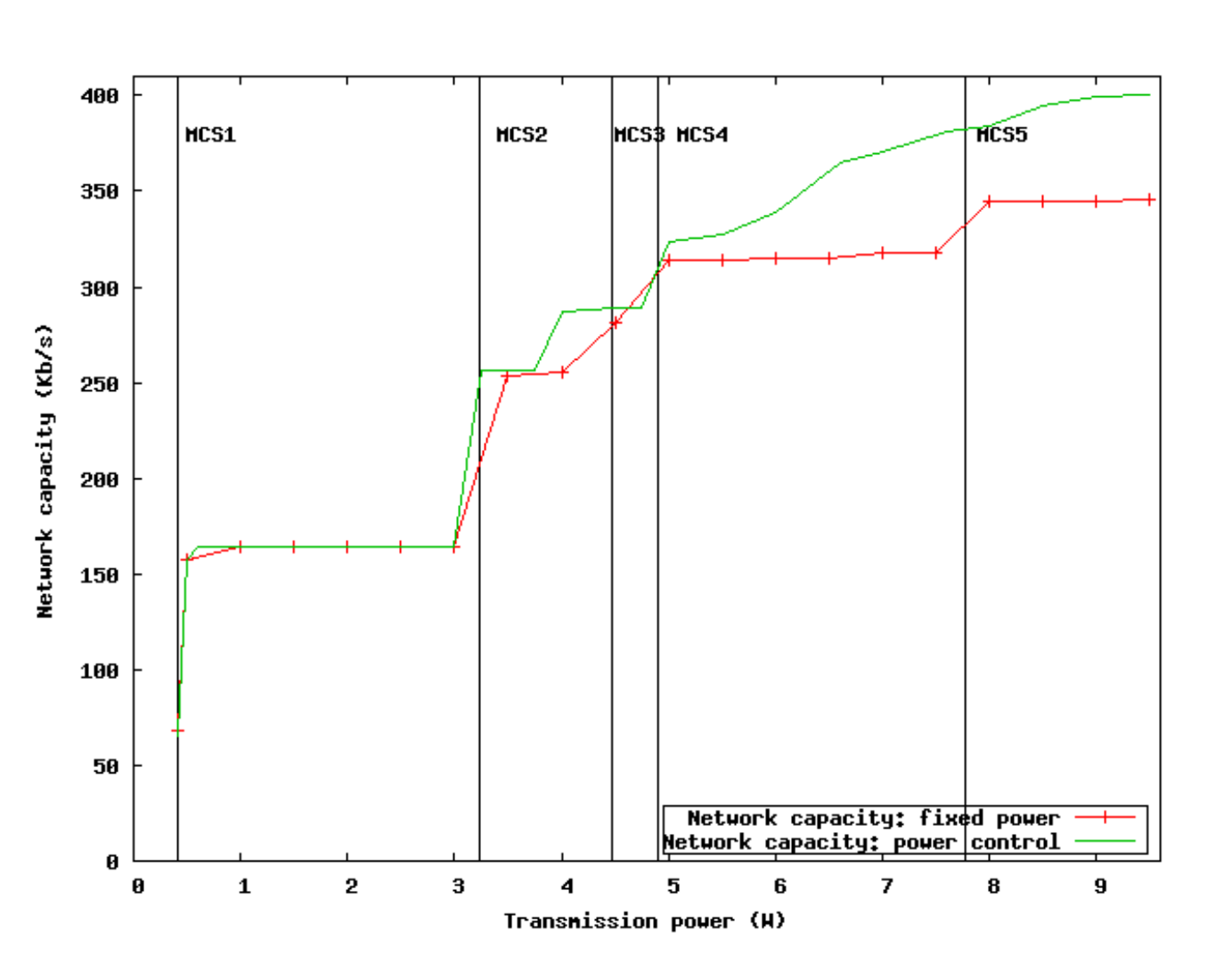


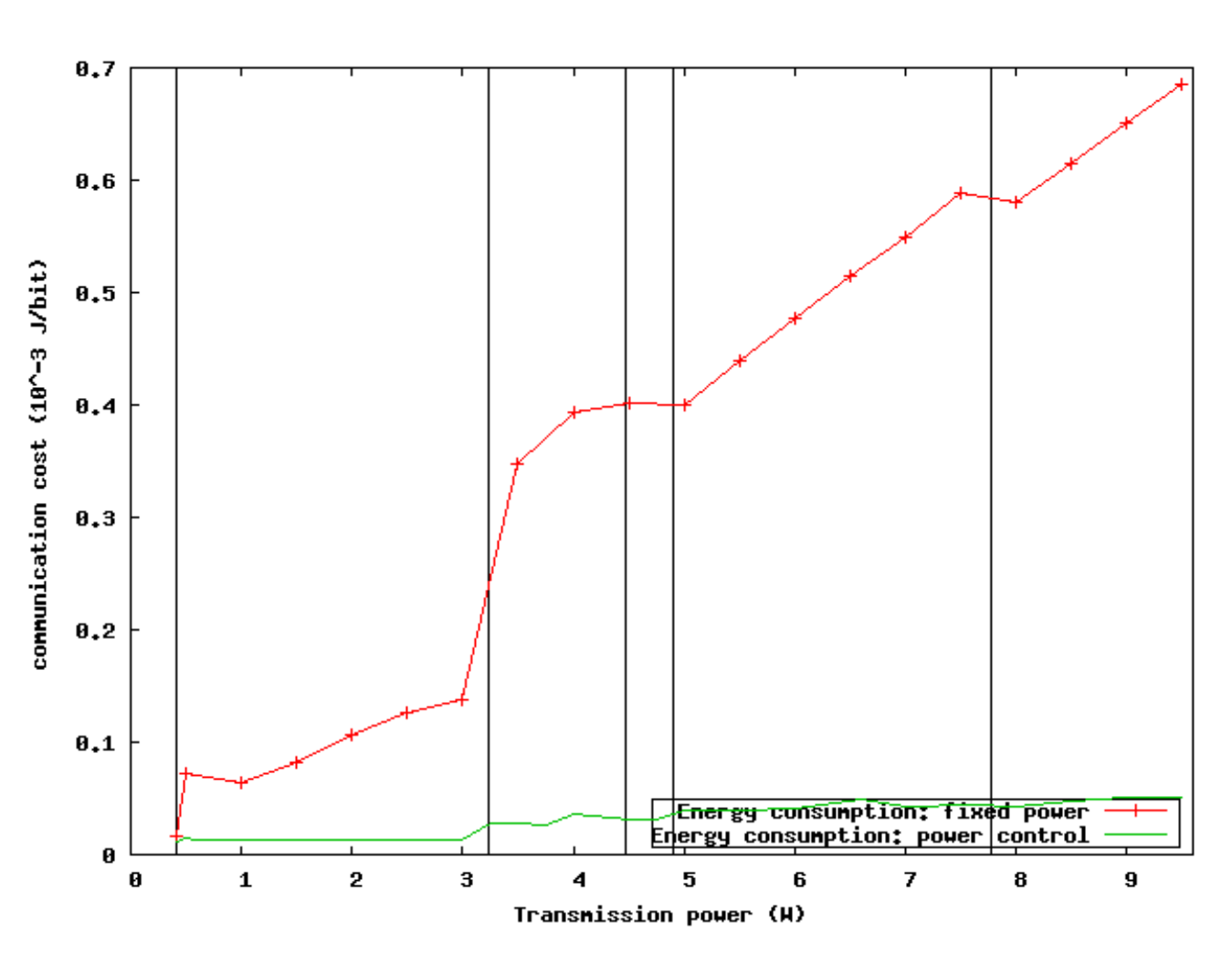
- Multi-saut est plus efficace que le mono-saut !!!





# Puissance fixe Vs contrôle de puissance: modulation adaptative





Capacité du réseau

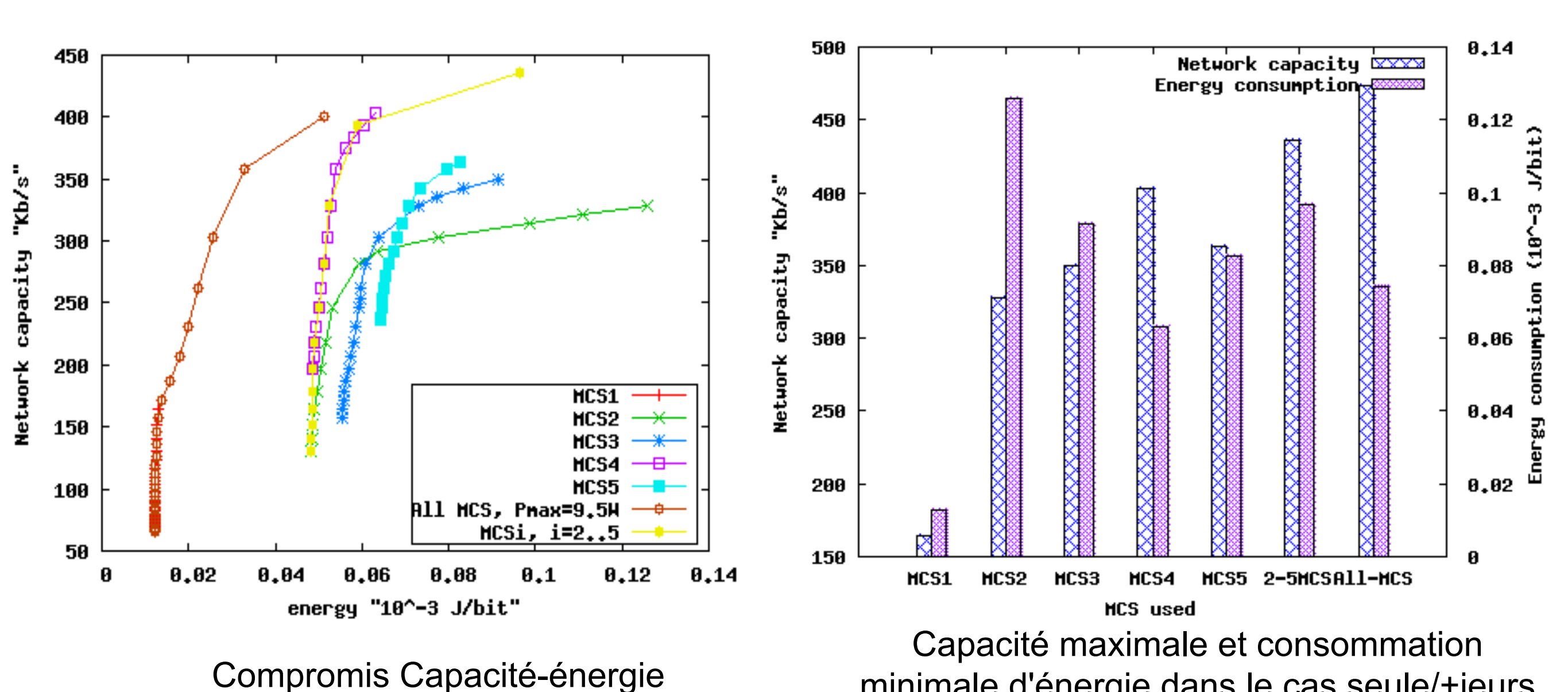
Consommation d'énergie par bit

L'apport du contrôle de puissance est important





#### L'apport modulations adaptative



L'apport de la modulations adaptative est imporatant !!!





minimale d'énergie dans le cas seule/+ieurs

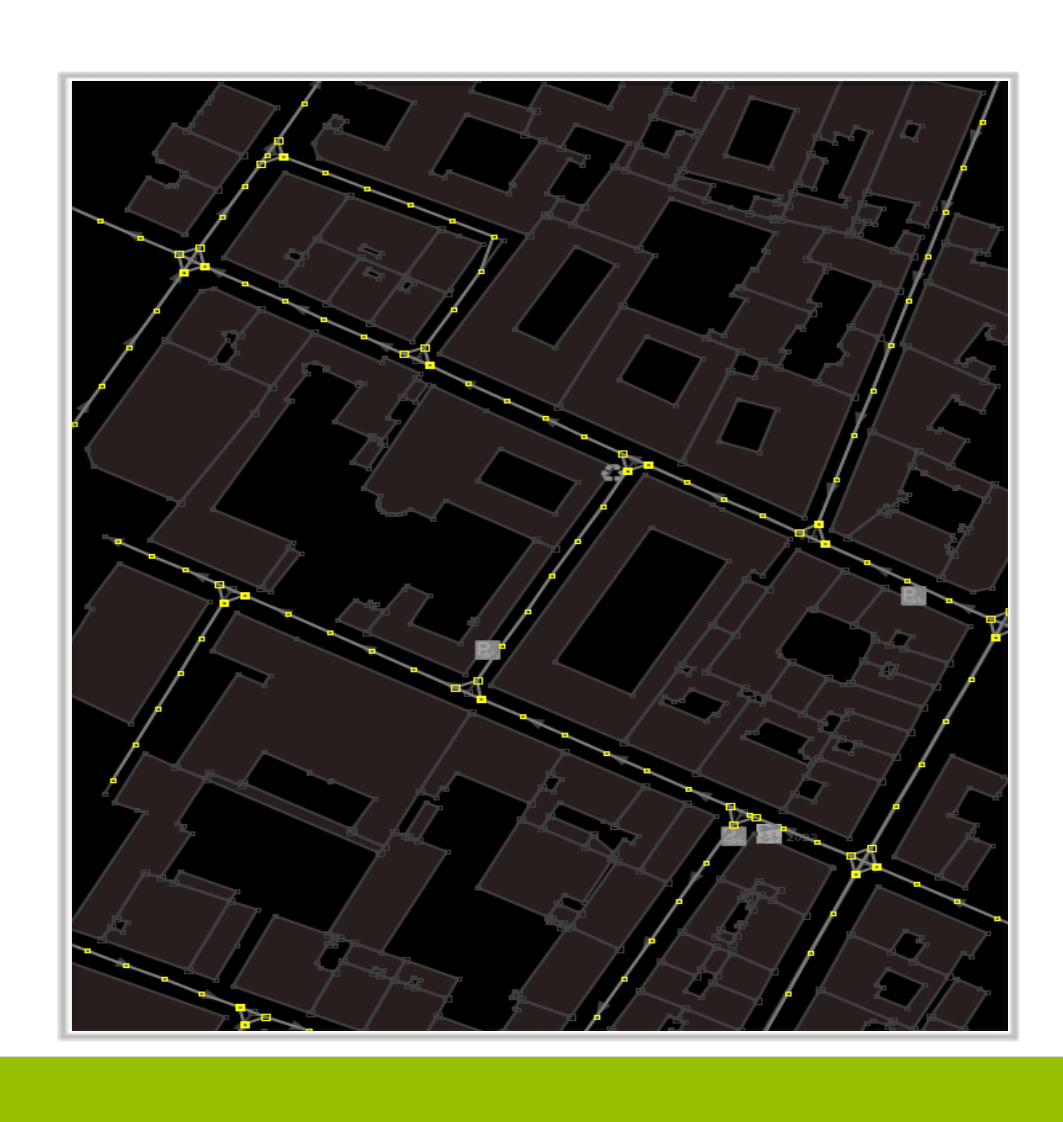
modulations

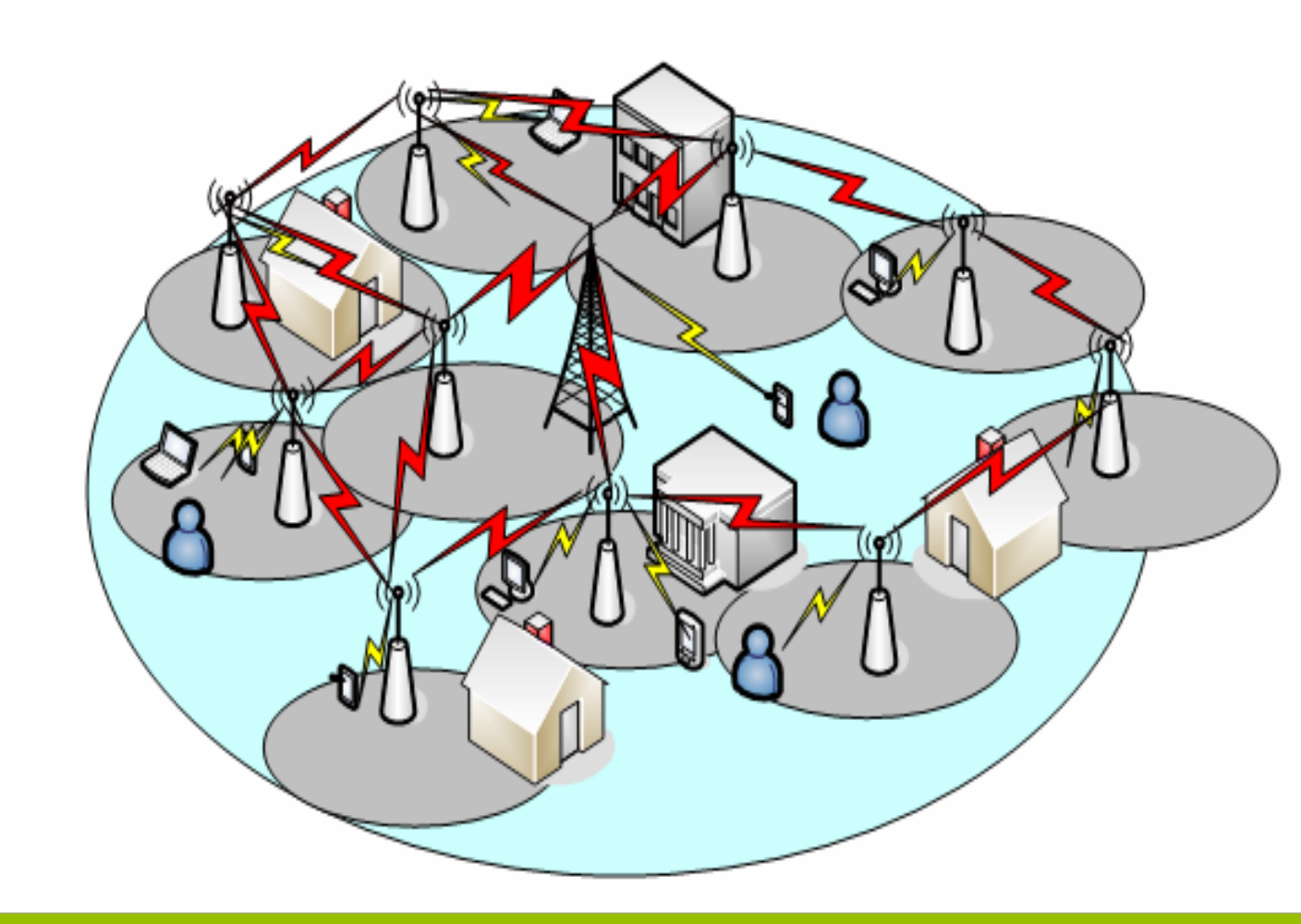
# Conclusions et Perspectives

- Optimisation multi-objectif : allocation de ressource, routage et ordonnancement
- Minimiser la complexité et le temps de calcul
- Etudier le délai de bout en bout, compromis délai-énergie

Réseau urbain

Réseau cellulaire macro/femto Cell



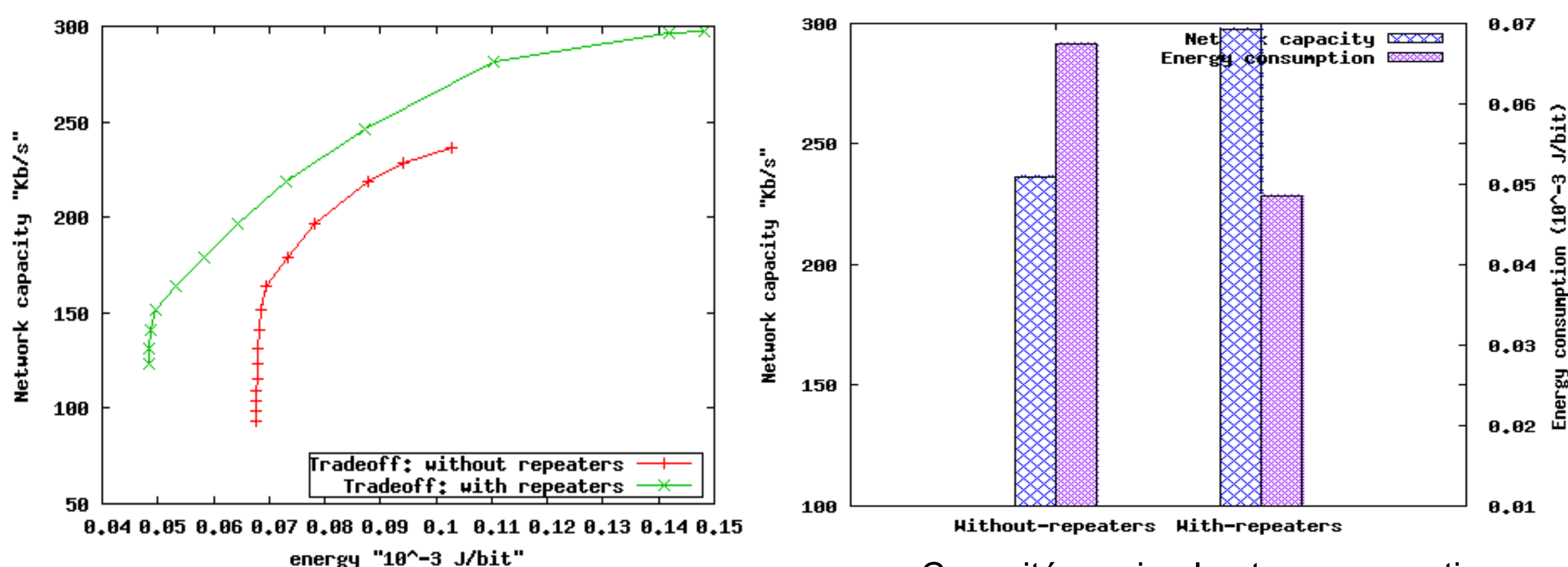






# L'apport des répéteurs dans un réseau urbain

Topologie urbaine avec une seule rue de 6 répéteurs + 6 BS + 1 passerelle



Compromis Capacité-énergie

Capacité maximale et consommation minimale d'énergie dans le cas de sans/avec répéteurs

Les répéteurs apportent un gain de 25% en capacité, et 28% en énergie





# RECHERCHE 7 INSTITUT NATIONAL DES SCIENCES.

Merci pour votre attention ...

Herve.Rivano@inria.fr



